

Development of Radiowave Transmissive MLI

富岡 孝太(慶應大). 太刀川 純孝(JAXA/ISAS)



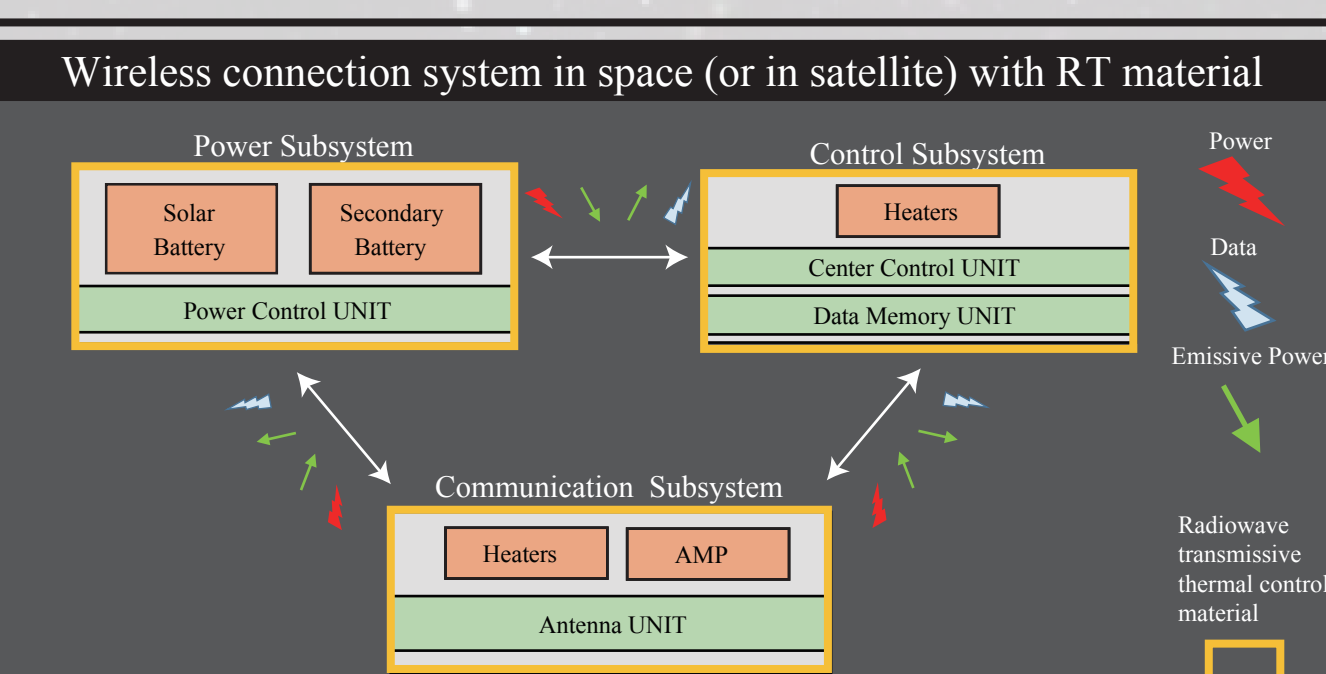
Introduction



月面、深宇宙探査等の低温環境における超高温熱システム

- ・越夜を経験する月面探査
2週間の日陰(夜)、月面表面温度-180°C
- ・深宇宙探査
長期間の極低温環境、限られた電力リソース(RTGを使用しない場合)

アンテナをまるごと断熱材で覆うような超高温熱技術で、省電力化を目指す



ワイヤレス電力・信号伝送の熱制御

- ・人工衛星のワイヤレス化
→ハーネスを無くすことによる軽量化、サブシステムごとの衛星開発等が可能

自在に熱光学特性を選択できる電波透過型熱制御材によって、初めて電波透過と熱制御の両立を目指す

Structure and design method of COSF

誘電体多層膜を用いた電波透過型熱制御材COSF

- ・多層膜の光干渉を用いて、自在な熱光学特性を実現する
- ・フレキシブルな形状(曲面に使用可能)である
- ・金属を使用しないため、優れた電波透過性を備える

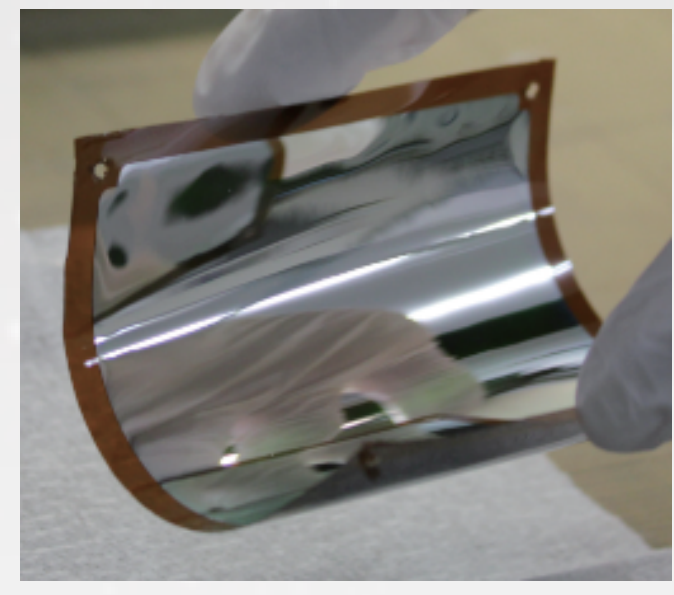
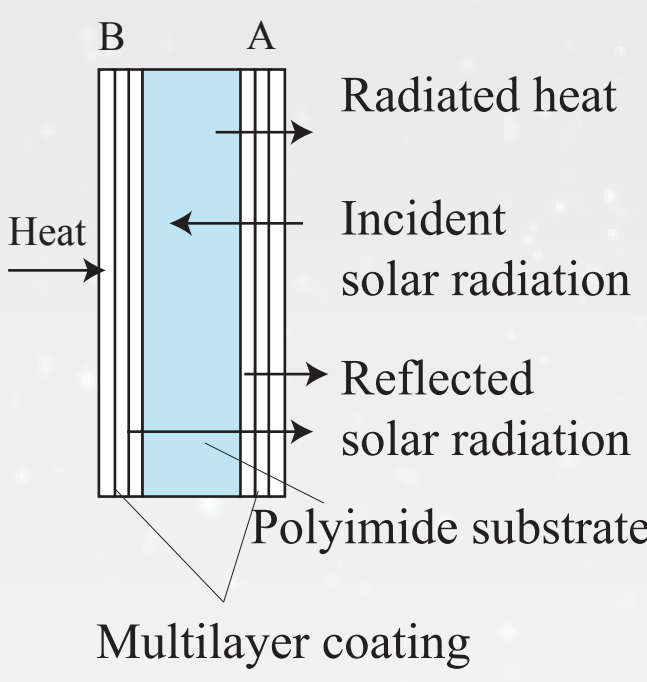


Fig.1 COSF (Controlled Optical Surface Film)



多層膜の設計方法

GA : Genetic Algorithm

～生物の進化を模擬した確率的探索方法～

- ・0.26 ~ 100 μm の反射率を評価関数に従って制御することで、少ない膜数・膜厚で所望の熱光学特性 (α_s , ε_H) を示す熱制御材を設計可能。

COSFの設計例、及びその自在な熱光学特性

- COSF-Absorber ($\alpha_s = 0.91$, $\varepsilon_N = 0.16$ ※設計値) 高太陽光吸収材
 - COSF-IR ($\varepsilon_N = 0.12$ ※測定値) 電波透過型断熱材用、低放射率材
 - COSF ($\alpha_s = 0.05$, $\varepsilon_N = 0.77$ ※測定値) 低太陽光吸収率材(かつ高放射率)
- ・低放射率材、低太陽光吸収率材、および誘電体バルク材を組合わせることによって(Fig. 2)すべての熱光学特性が設計可能。

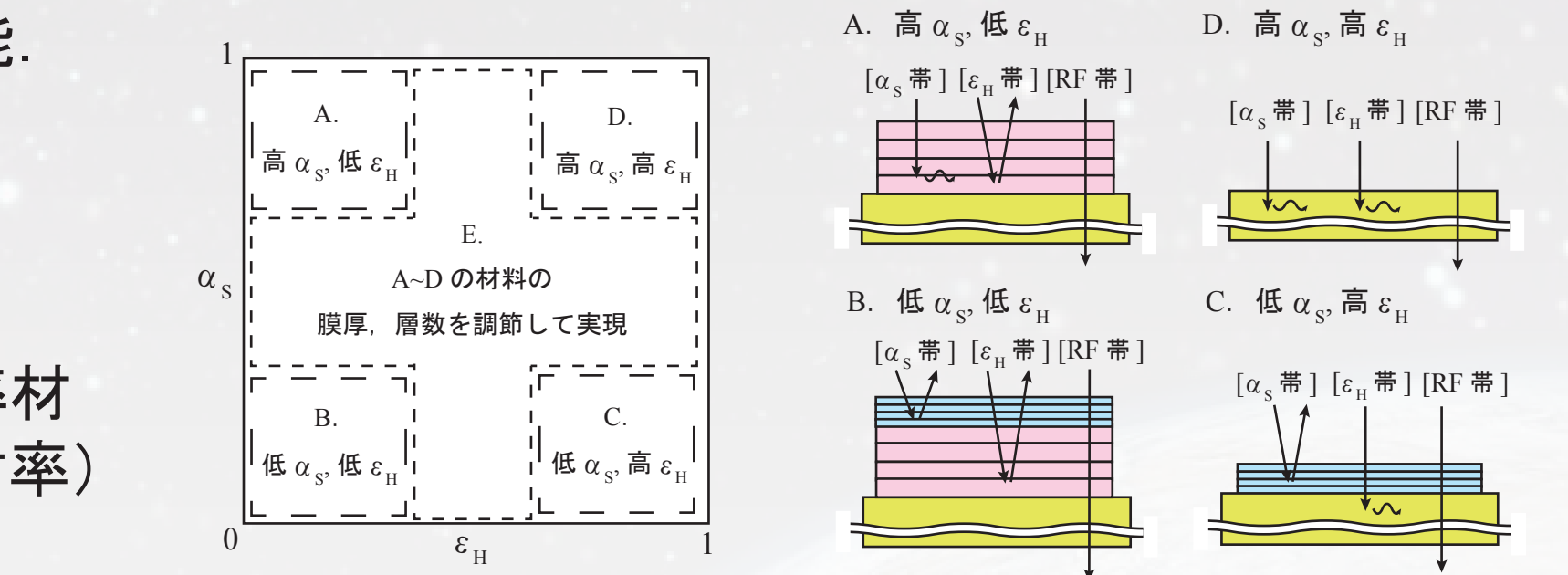
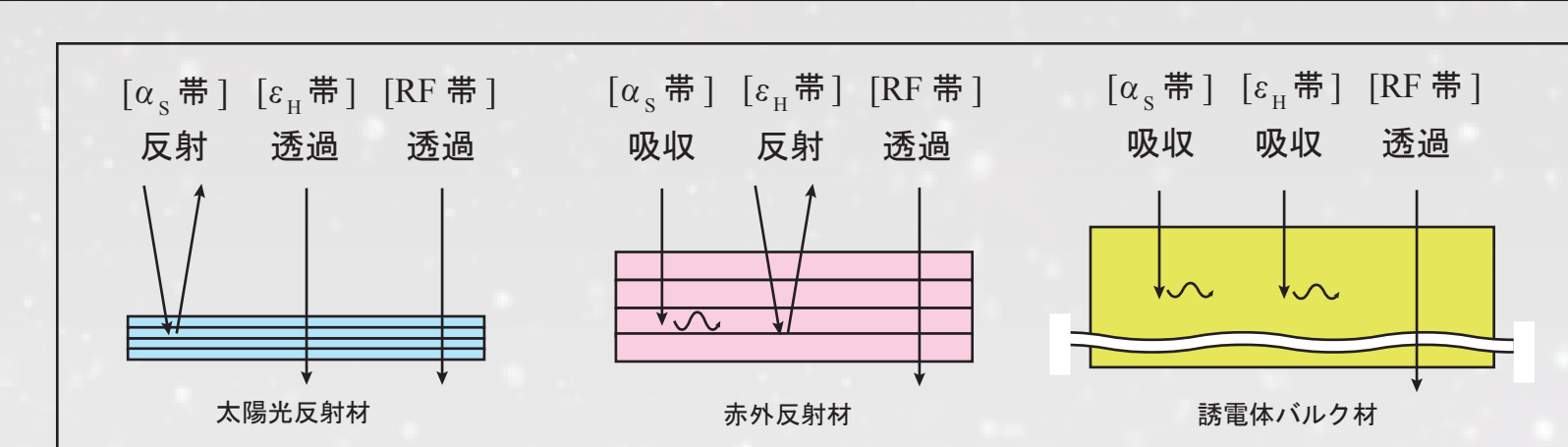


Fig.2 任意に熱光学特性を設計するための必要な多層膜構造。

Thermo-optical properties

Solar Absorptance

$$\alpha_s(\theta) = \frac{\int_{0.26}^{2.5} \{1 - R(\lambda, \theta)\} J_s(\lambda) d\lambda}{\int_{0.26}^{2.5} J_s(\lambda) d\lambda}$$

 λ : wavelength T : sample temperature θ : incident angle $i_b(\lambda, T)$: spectral intensity of a blackbody $J_s(\lambda)$: spectral solar radiation intensity

Normal Emittance

$$\varepsilon_N(T) = \frac{\int_{1.67}^{100} \{1 - R(\lambda, \theta)\} i_b(\lambda, T) d\lambda}{\int_{1.67}^{100} i_b(\lambda, T) d\lambda}$$

Total Hemispherical Emittance

$$\varepsilon_H(T) = \int_0^{\pi/2} \int_{1.67}^{100} \{1 - R(\lambda, \theta)\} i_b(\lambda, T) \cos \theta \sin \theta d\lambda d\theta$$

$$\int_0^{\pi/2} \int_{1.67}^{100} i_b(\lambda, T) \cos \theta \sin \theta d\lambda d\theta$$

Measurement method for Thermo-optical properties

Solar Absorptance

○ Reflectance measurement (0.26-2.5 μm)

Light source, DC power supply, Monochromator, Pulse motor, Power supply for detector, Integrated sphere, Sample holder, Data processor, Lock-In amplifier.

Normal Emittance

○ Reflectance measurement (1.67-100 μm)



Total Hemispherical Emittance

○ Calorimetric method (173-373 K)

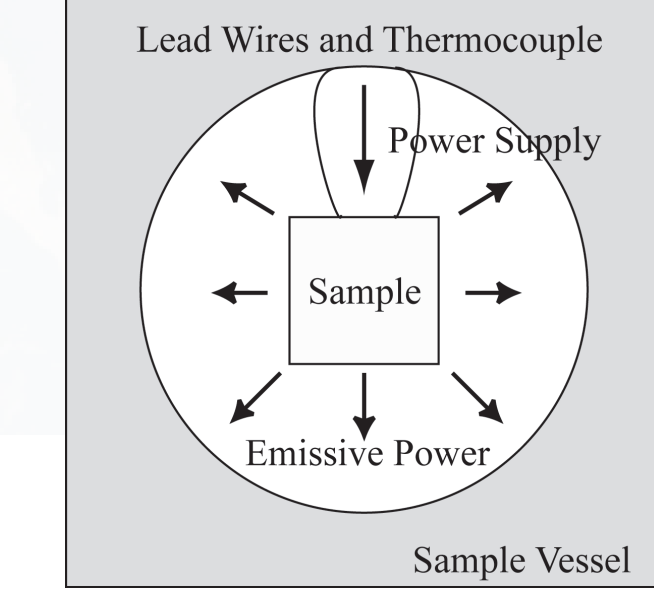


Fig.4 FTIR (FTS3100)

Fig.5 ε_H apparatus

Radiowave transmissive radiator, COSF

Design results of COSF4-RE

Material	: Ta ₂ O ₅ /SiO ₂ , TiO ₂ /SiO ₂ , Si/SiO ₂
Substrate	: UPILEX-S, 125 μm
Layer	: 35 layers
Properties	: $\alpha_s = 0.05$, $\varepsilon_N = 0.80$
Total thickness	: 3.72 μm (without substrate)
Method	: sputtering method

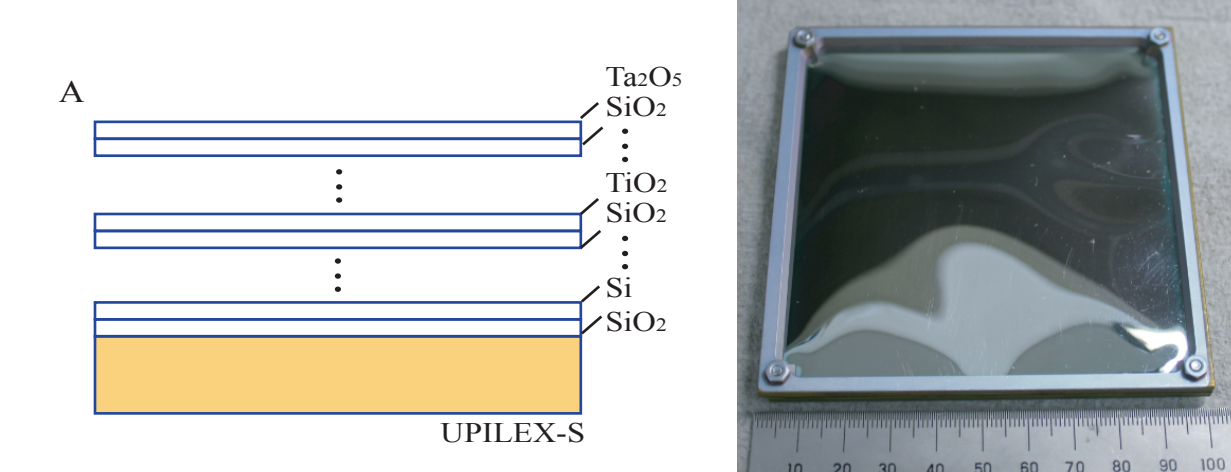
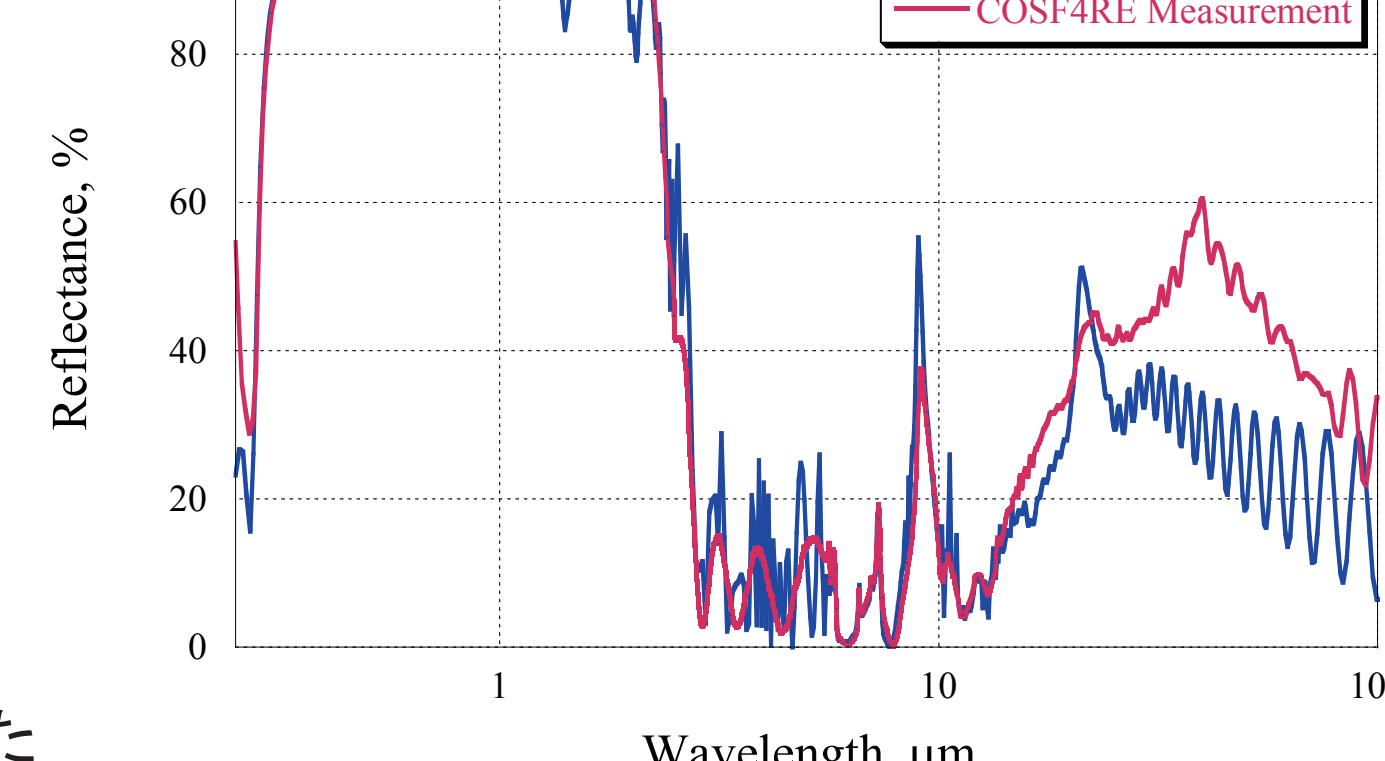


Fig.6 Construction and photography of COSF4

Measurement results of COSF4-RE

Table 1 Thermo-optical properties of COSF4-RE



- ・COSF4-REの太陽光吸収率は0.05と従来の金属を使った排熱材OSRと比較して小さい値を示していることが分かる。また、放射率も排熱材として高い値を示している。

Fig.7 Spectral reflectance of COSF4-RE in wavelength range of 0.26-100 μm.

Radiowave transmittance

- ・挿入損失法によりX bandにおけるCOSFの電波透過率を測定した。COSFは従来の電波透過型熱制御材Ge蒸着カバントと同様の透過率を示すことが分かる。

- ・COSFは金属を使用しないため、基本的に全ての周波数帯の電波を透過する。

- ・低周波領域である100 kHz ~ 1000 MHz 帯でも、同様に100 %の透過率を示すことが実験的に分かっている。

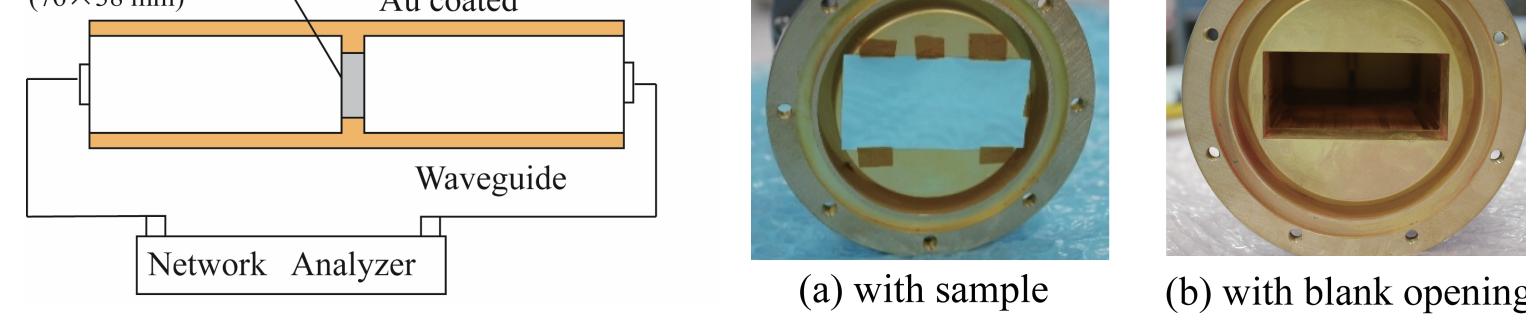


Fig.10 Apparatus of insertion loss method.

Table 3 Effectiveness parameter of radiowave transmittance L.

Name	L dB	X-band
COSF4	0.0	
COSF-IR2	-0.02	
Ge-coated Kapton	0.0	
Al-coated Kapton film	-33.5	

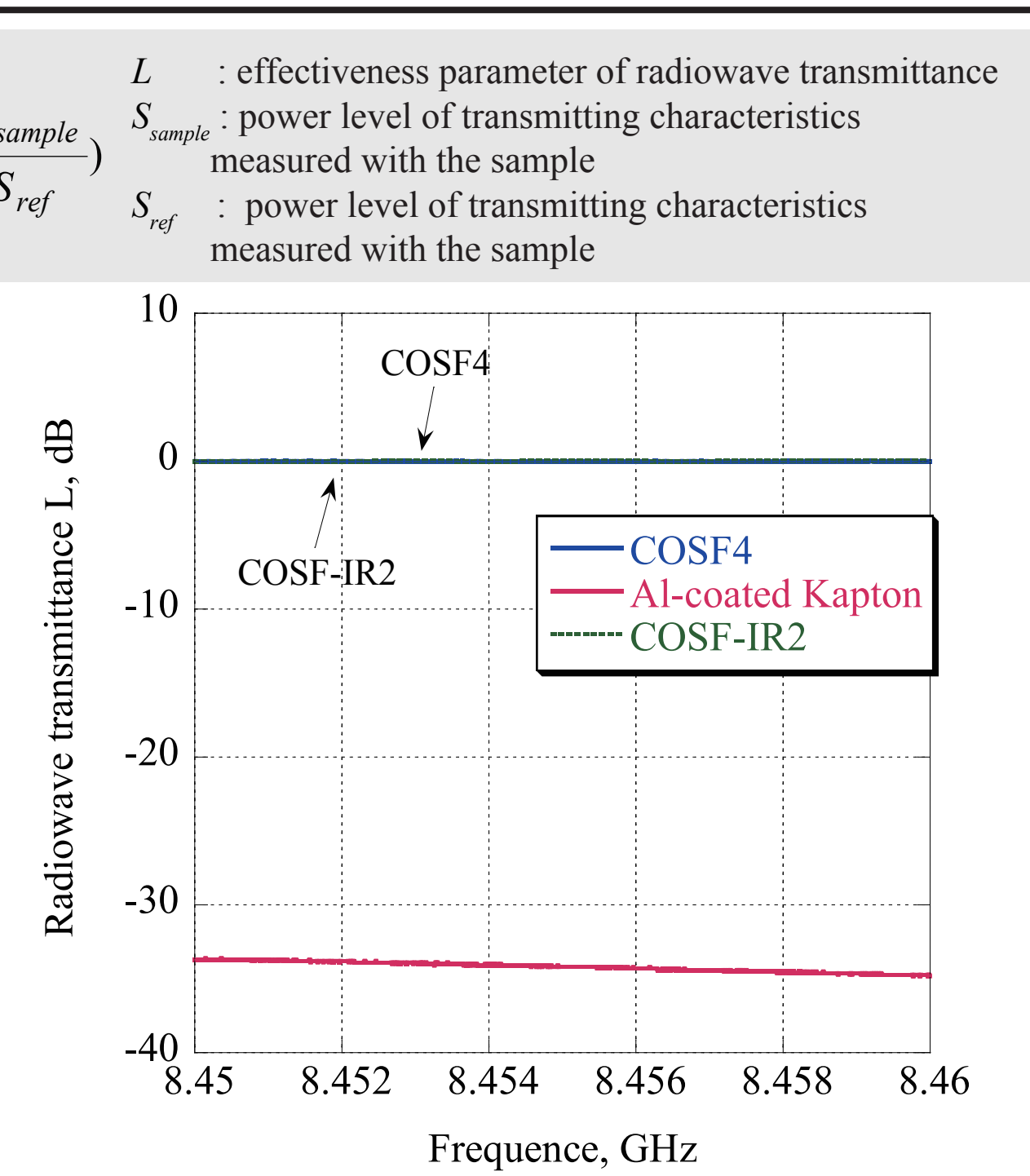


Fig.11 Frequency spectrum of L at X-band.

Experiment in-orbit

- ・2016年からCOSFはARMミッション(Advanced Radiator Material)においてISS軌道上にて暴露試験を行っている。(1, 2, 3年間)
- ・1年暴露品に関しては2017年に地上回収が完了し、COSFの表面光学特性の変化を測定したところ、劣化は見られなかった。

- ・ヴァン・アレン帯を3年間通過するような放射線環境を想定して(ASTRO-G)、地上劣化加速試験によるプロトン・エレクトロン照射を行った。COSFの太陽光吸収率は照射後、最大で0.02程度上昇し、ほとんど劣化は確認されず、ヴァン・アレン帯を通過するような衛星に適用可能であることが分かった。

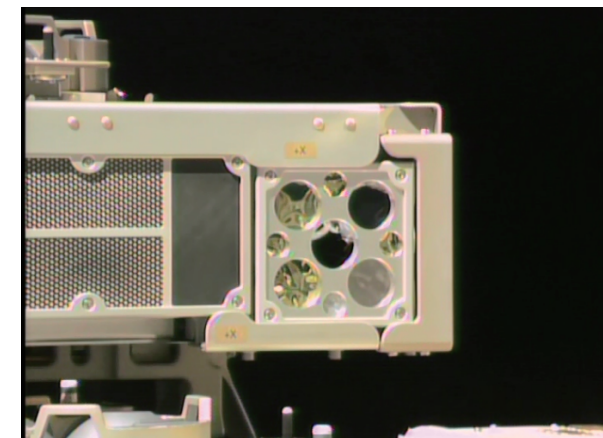
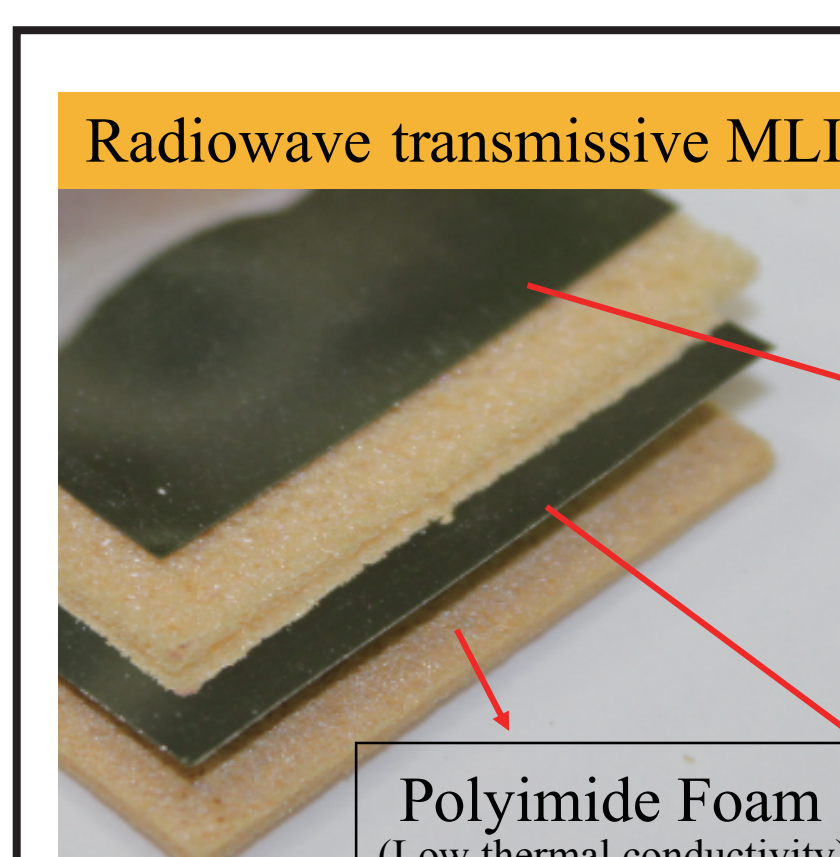


Fig.14 COSF on ISS (2016 launched).

RT-MLI (Radiowave Transmissive MLI)



① 最外層(Outer layer)

従来 MLI : Al-coated Polyimide film (金属材)

→表面温度を下げるため金属材を使用

- EX. COSF4-RE
- ・低太陽光吸収率
- ・高放射率
- ・電波透過性

② 内層(Inner layer, IR reflector)

従来 MLI : Al-coated polyester film (金属材)

→熱ふく射結合を抑えるため金属材を使用

- EX. COSF-IR2
- ・低放射率
- ・電波透過性

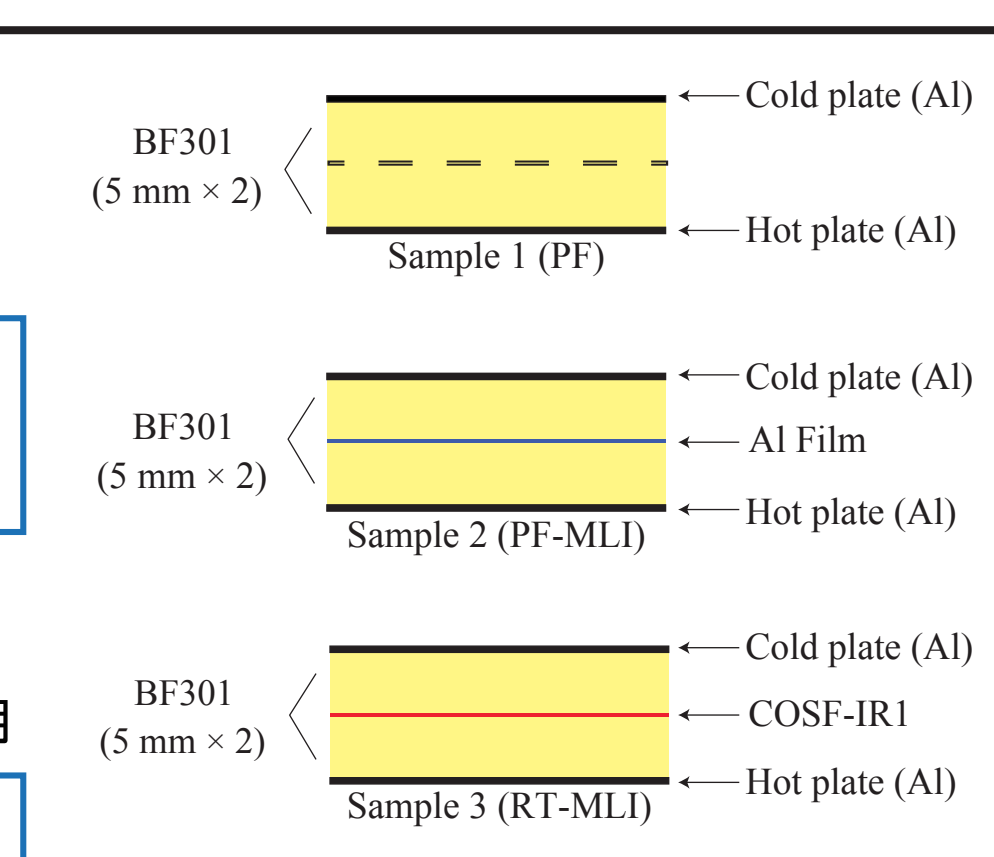


Fig.12 Measurement sample 1 ~ 3.

断熱特性の評価 - 热伝導率測定 -

Sample	: PF, PF-MLI, RT-MLI
PF type	: BF301, d = 5mm, 2 layers
Low emittance layer	: Al-coated polyester film (PF-MLI), COSF-IR (RT-MLI)
Total thickness	: 10 mm
Condition	: Vacuum (< 3.0 × 10 ⁻⁶ torr)
Method	: GHP method

- ・300 Kにおいて、PFは4.38 × 10⁻³ W/(m·K), PF-MLIは2.18 × 10⁻³ W/(m·K), RT-MLIは2.65 × 10⁻³ W/(m·K)であり、RT-MLIはPF-MLIと同等の低熱伝導率性を示した。また、低放射率材料をPF層間に挟むことでふく射伝熱が抑制され、有効熱伝導率が小さくなつたことが実験から確認された。

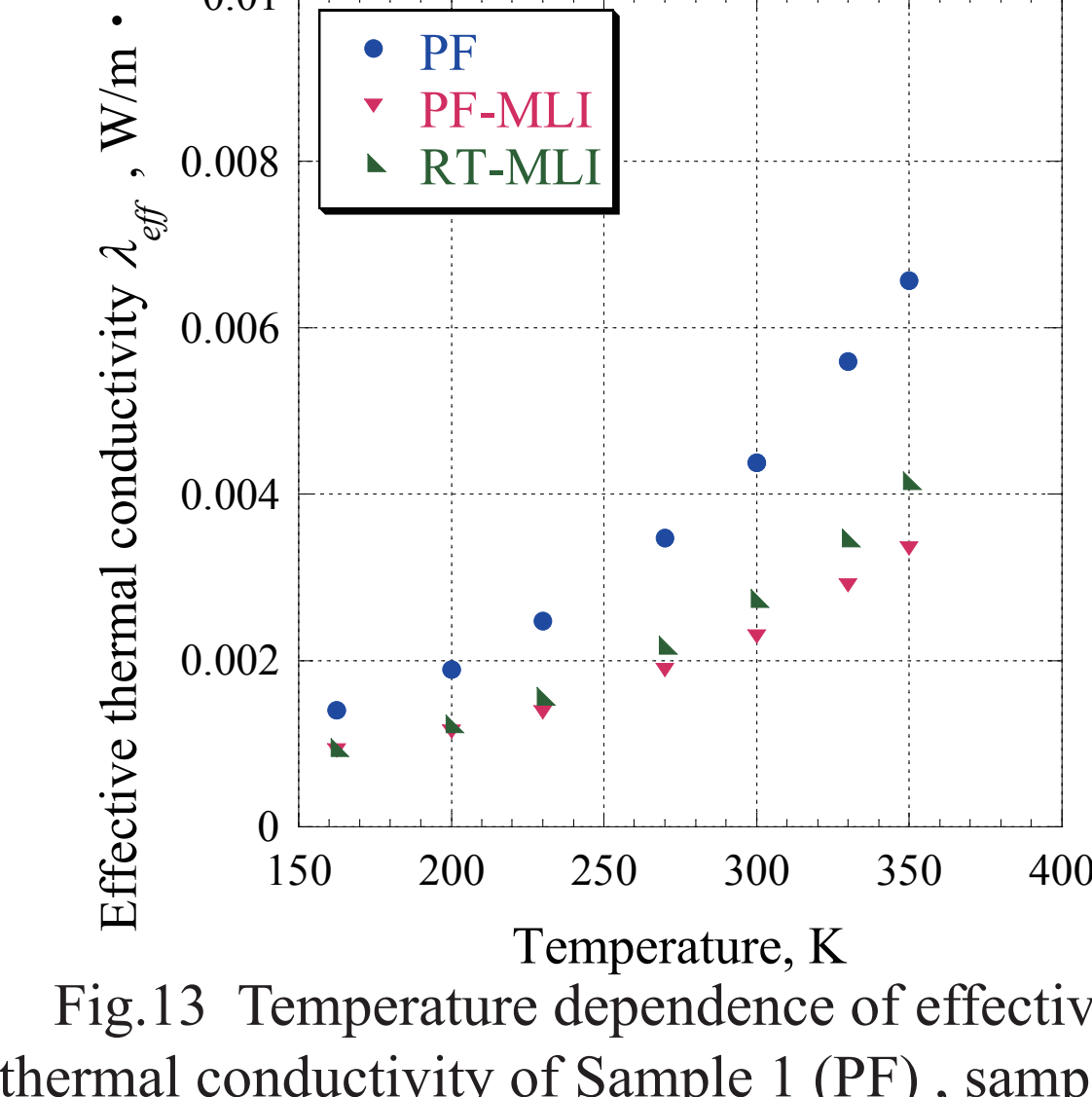


Fig.13 Temperature dependence of effective thermal conductivity of Sample 1 (PF), sample 2 (PF-MLI) and sample 3 (RT-MLI).